

## ТУННЕЛЬНАЯ ПРОВОДИМОСТЬ ЧАСТИЧНО-ДИЭЛЕКТРИЗОВАННЫХ МЕТАЛЛОВ С ВОЛНАМИ ЗАРЯДОВОЙ ИЛИ СПИНОВОЙ ПЛОТНОСТИ

© А.И.Войтенко, А.М.Габович

Институт физики Академии наук Украины,

252650 Киев, Украина

(Поступила в Редакцию 16 марта 1995 г.

В окончательной редакции 19 сентября 1995 г.)

Рассчитаны вольт-амперные характеристики симметричных и несимметричных туннельных переходов, содержащих металлы с волнами зарядовой или спиновой плотности и диэлектрической щелью  $\Sigma$  на части поверхности Ферми. Для симметричных переходов имеются корневые сингулярности при  $eV = \pm\Sigma$  и скачки при  $eV = \pm 2\Sigma$ . Для несимметричных переходов вольт-амперные характеристики зависят от знака  $\Sigma$  и являются асимметричными. Полученные результаты хорошо согласуются с туннельными и микроконтактными данными для слоистых дихалькогенидов,  $\text{NbSe}_3$  и  $\text{URu}_2\text{Si}_2$ .

Туннельные исследования сверхпроводников служат мощным инструментом для выявления щелевого характера электронного спектра, а также деталей электрон-фононного спаривания в соответствующих веществах [1]. В то же время хорошо известно, что существуют нормальные металлы, в которых происходят переходы в состояния с волнами зарядовой (ВЗП) или спиновой (ВСП) плотности, с сохранением металлического характера проводимости при температурах  $T$  ниже температуры  $T_d = T_s$  (для структурных превращений) или  $T_d = T_N$  (для антиферромагнитных переходов) [2,3]. ВЗП и ВСП сопровождаются возникновением диэлектрической щели  $\Sigma$  на конгруэнтных участках поверхности Ферми (ПФ). Таким образом, было бы очень интересно исследовать вольт-амперные характеристики (ВАХ)  $J(V)$  таких металлов и сравнить их с ВАХ сверхпроводников. Недавно такие эксперименты были проведены не только обычным методом туннельной спектроскопии, но также и с помощью микроконтактной спектроскопии и сканирующей туннельной микроскопии. Были исследованы слоистые дихалькогениды [4],  $\text{NbSe}_3$  [5–7] и соединение с тяжелыми фермионами  $\text{URu}_2\text{Si}_2$  [8,9]. Экспериментальные ВАХ этих соединений существенно отличаются от их сверхпроводящих аналогов и будут обсуждаться в отдельной работе. Здесь же необходимо упомянуть только об удивительной асимметрии проводимостей  $G(V) = dJ/dV$  для большинства несимметричных переходов, о частичном заполнении щелевой области энергий и о часто встречающейся замене ожидаемых индуцируемых щелью логарифмических сингулярностей менее выраженнымми особенностями.

В данной работе представлена теория ВАХ в переходах, содержащих частично диэлектризованные металлы, основанная на модели [10], которая была первоначально разработана и успешно применена для сверхпроводника с диэлектризованными участками ПФ [11]. В приближении молекулярного поля соответствующий гамильтониан имеет вид

$$\hat{\mathcal{H}} = \hat{\mathcal{H}}_0 + \hat{\mathcal{H}}_{MF}, \quad (1)$$

$$\hat{\mathcal{H}}_0 = \sum_{r=1}^3 \sum_{\mathbf{p}\alpha} \xi_r(\mathbf{p}) a_{r\mathbf{p}\alpha}^+ a_{r\mathbf{p}\alpha}. \quad (2)$$

Индекс суммирования  $r$  в (2) соответствует различным участкам ПФ. В частности, для конгруэнтных участков 1 и 2 (nesting) электронный спектр вырожден

$$\xi_1(\mathbf{p}) = -\xi_2(\mathbf{p} + \mathbf{Q}), \quad (3)$$

где  $\mathbf{Q}$  — волновой вектор ВЗП или ВСП ( $\hbar = 1$ ). На остальной части ПФ ( $r = 3$ ) спектр невырожден и описывается функцией  $\xi_3(\mathbf{p})$ . Операторы  $a_{r\mathbf{p}\alpha}^+$  и  $a_{r\mathbf{p}\alpha}$  суть операторы рождения и уничтожения квазичастицы с квазимоментом  $\mathbf{p}$  и проекцией спина  $\alpha$  с  $r$ -го участка ПФ. Член  $\hat{\mathcal{H}}_{MF}$  различен для случаев ВЗП и ВСП

$$\hat{\mathcal{H}}_{CDW} = - \sum_{r=1}^2 \sum_{\mathbf{p}\alpha} (\Sigma a_{r\mathbf{p}\alpha}^+ a_{r,\mathbf{p}+\mathbf{Q},\alpha} + \text{H.c.}), \quad (4)$$

$$\hat{\mathcal{H}}_{SDW} = -2 \sum_{r=1}^2 \sum_{\mathbf{p}\alpha} (\alpha \Sigma a_{r\mathbf{p}\alpha}^+ a_{r,\mathbf{p}+\mathbf{Q},\alpha} + \text{H.c.}). \quad (5)$$

Возникновение параметра порядка  $\Sigma$  есть результат экситонной или пайерловской неустойчивости электронного спектра (3). В нашем случае  $\Sigma$  — действительная величина и может быть как положительной, так и отрицательной. Мы рассмотрим два особых случая туннелирования с участием ВЗП- (или ВСП-) металлов: 1) через симметричный (s) переход между двумя тождественными, частично диэлектризованными электродами; 2) через несимметричный (ns) переход между ВЗП- (или ВСП-) металлом и обычным металлом. В соответствии с экспериментом для большинства ВЗП- и ВСП-соединений будем предполагать пиннинг волн, например на дефектах или вследствие несогласимости ВЗП (ВСП) с исходной кристаллической решеткой. Таким образом, эффекты скольжения волн и когерентные высокочастотные явления [2] исключаются из рассмотрения. Мы используем стандартную теорию [12] в предположении равенства всех туннельных матричных элементов  $T_{pq}$ , связывающих различные части ПФ.

В симметричном случае получаем

$$J_s(V) = \frac{1}{2\pi^3 e R_s(1+\nu)^2} \operatorname{Re} \left\{ \int_{-\infty}^{\infty} \int_{-\infty}^{\infty} d\omega d\omega' (\omega - \omega' - eV + i\delta)^{-1} \times \right. \\ \left. \times \operatorname{Im} [G_d(\omega)G_d(\omega') + \nu^2 G_{nd}(\omega)G_{nd}(\omega') + 2\nu G_d(\omega)G_{nd}(\omega') + G_{is}(\omega)G_{is}(\omega')] \right\}. \quad (6)$$

Здесь  $\nu = N_{\text{nd}}(0)/N_{\text{d}}(0)$  — параметр, характеризующий степень «диэлектризации» ПФ,  $N_{\text{nd}}(0)$  и  $N_{\text{d}}(0)$  — плотности электронных состояний на недиэлектризованной (nd) и диэлектризованной (d) частях ПФ, а  $R_s$  — сопротивление туннельного перехода в недиэлектризованном состоянии

$$R_s^{-1} = 4\pi e^2 N^2(0) \langle |T_{pq}|^2 \rangle_{\text{FS}}, \quad N(0) \equiv N_{\text{nd}}(0) + N_{\text{d}}(0). \quad (7)$$

Различные функции Грина, входящие в (6), — это проинтегрированные по энергиям временные функции Грина  $G(\mathbf{p}, \omega)$ , связанные дисперсионными соотношениями с запаздывающими функциями  $G^R(\omega)$ . В свою очередь последние являются аналитическим продолжением температурных функций Грина  $G(\omega_n)$  на действительную ось переменной  $i\omega_n = i(2n+1)\pi T$ ,  $n = 0, \pm 1, \pm 2, \dots$  [12]. Для металла с частичной диэлектризацией вырожденного электронного спектра [10] величины  $G(\mathbf{p}, \omega_n)$  до интегрирования по энергиям имеют вид [11]

$$G_{\text{nd}}(\mathbf{p}, \omega_n) = -\frac{i\omega_n + \xi_3(\mathbf{p})}{\omega_n^2 + \xi_3^2(\mathbf{p})}, \quad (8)$$

$$G_{\text{d}}(\mathbf{p}, \omega_n) = -\frac{i\omega_n + \xi_1(\mathbf{p})}{\omega_n^2 + \xi_1^2(\mathbf{p}) + \Sigma^2}, \quad (9)$$

$$G_{is}(\mathbf{p}, \omega_n) = -\frac{\Sigma}{\omega_n^2 + \xi_1^2(\mathbf{p}) + \Sigma^2}. \quad (10)$$

Функция (10) соответствует электрон-дырочному спариванию квазичастиц [13]. Выражение для тока  $J_s(V)$  содержит громоздкие интегралы, аналогичные полученным в [12], и будет приведено в более полном варианте статьи. Существенно, однако, что  $J_s(V)$  не зависит от знака  $\Sigma$ . При  $T = 0$  получается следующая простая формула:

$$J_s(V) = \frac{1}{eR_s(1+\nu)^2} \left\{ \nu^2 eV + 2\nu \Theta(eV - \Sigma_0) \sqrt{(eV)^2 - \Sigma_0^2} + \right. \\ \left. + \Theta(eV - 2\Sigma_0) [(eV + 2\Sigma_0)E(\mu) - 4\Sigma_0 K(\mu)] \right\}. \quad (11)$$

Здесь  $\mu = (eV - 2\Sigma_0)/(eV + 2\Sigma_0)$ ,  $\Theta(x)$  — функция Хевисайда,  $K(\mu)$  и  $E(\mu)$  — полные эллиптические интегралы первого и второго рода соответственно, а  $\Sigma_0 = |\Sigma(T=0)|$ . Анализ показывает, что  $J_s(V)$  и проводимость  $G_s(V) = dJ_s/dV$  в окрестности энергетической щели  $|\Sigma(T)|$  существенно отличаются от известных результатов [1] для сверхпроводников, а именно имеются корневая, сглаживающаяся при повышении  $T$  особенность  $G_s(V)$  при  $eV = \pm\Sigma_0$  и скачок  $\Delta G_s = \pi \operatorname{th}(\Sigma/2T)/2R_s(1+\nu)^2$  при  $eV = \pm 2\Sigma_0$ . В то же время особенность при  $V = 0$  и конечных  $T$  [12] в исследуемом случае сохраняется

$$G_s(V \rightarrow 0) \approx \frac{|\Sigma|}{2TR_s(1+\nu)^2 \operatorname{ch}^2(\frac{\Sigma}{2T})} \ln \left[ \frac{\min(T, |\Sigma|)}{eV} \right]. \quad (12)$$

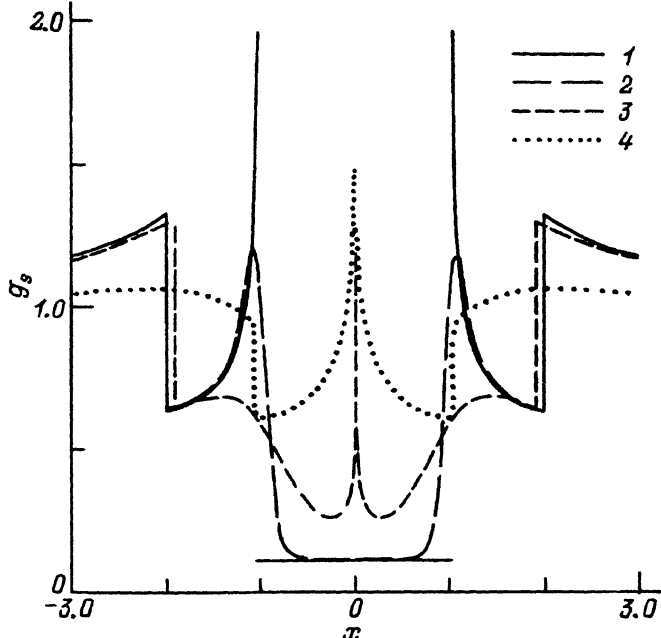


Рис. 1. Зависимость безразмерной проводимости  $g_s$  симметричного туннельного перехода от безразмерного смещения  $x$  для  $\nu = 0.5$  и различных значений приведенной температуры  $t = T/T_d$ .

$t$ : 1 — 0, 2 — 0.1, 3 — 0.5, 4 — 0.9.

На рис. 1 для  $\nu = 0.5$  приведены зависимости безразмерной проводимости  $g_s = G_s R_s$  от  $x = eV/\Sigma_0$  при различных значениях  $t = T/T_d$  в предположении о зависимости  $\Sigma(T)$ , соответствующей теории Бардина-Купера-Шриффера (БКШ) [1]. Вообще говоря, такая зависимость является следствием лишь простейших вариантов теории перехода металла в перестроенную фазу [2,3,13]. Но ввиду неясности экспериментальной ситуации и непринципиальности выбора какой-то конкретной зависимости  $\Sigma(T)$  мы ограничимся здесь и далее кривой  $\Sigma_{BCS}(T)$ . Видно, что имеется частичное заполнение щелевого провала даже при  $T = 0$ , а сама зависимость  $g_s(x)$  носит сложный характер, существенно зависящий от  $t$ .

Для несимметричного перехода ВЗП- (ВСП-) металл/изолятор/обычный металл, где при  $V > 0$  мы предполагаем, что потенциал обычного металла выше, туннельный ток определяется выражением

$$J_{ns}(V) = \frac{1}{2\pi^3 e R_{ns}(1+\nu)} \operatorname{Re} \left\{ \iint_{-\infty}^{\infty} d\omega d\omega' (\omega - \omega' - eV + i\delta)^{-1} \times \right. \\ \left. \times \operatorname{Im} \left[ G_d(\omega)G_0(\omega') + \nu G_{nd}(\omega)G_0(\omega') + G_{is}(\omega)G_0(\omega') \right] \right\}, \quad (13)$$

где  $G_0(\omega)$  — функция Грина обычного металла. Сопротивление несимметричного туннельного перехода отличается от (7)

$$R_{ns}^{-1} = 4\pi e^2 N(0) N_0(0) \langle |T_{pq}|^2 \rangle_{FS}, \quad (14)$$

где  $N_0(0)$  — электронная плотность состояний на уровне Ферми обычного металла. В отличие от предыдущего случая ток  $J_{ns}(V)$  и соответствующая проводимость  $G_{ns}(V) = dJ_{ns}/dV$  не являются ни четными, ни нечетными функциями смещения. Кроме того, ВАХ зависят от знака  $\Sigma$ .

При  $T = 0$  из (13) следуют простые аналитические формулы

$$J_{ns}(V) = \frac{1}{eR_{ns}(1+\nu)} \left\{ \nu eV \pm \Theta(|eV| - |\Sigma|) \times \right. \\ \left. \times \left[ \sqrt{(eV)^2 - \Sigma^2} \pm \Sigma \ln \frac{|eV| + \sqrt{(eV)^2 - \Sigma^2}}{|\Sigma|} \right] \right\}, \quad (15)$$

$$G_{ns}(V) = \frac{1}{R_{ns}(1+\nu)} \left[ \nu + \Theta(|eV| - |\Sigma|) \left( \frac{|eV| \pm \Sigma}{|eV| \mp \Sigma} \right)^{1/2} \right]. \quad (16)$$

Знаки в (15) и (16) совпадают со знаком  $V$ . Подчеркнем, что наличие диэлектрической щели в спектре квазичастиц приводит для несимметричного перехода к аномально большой поправке к закону Ома при

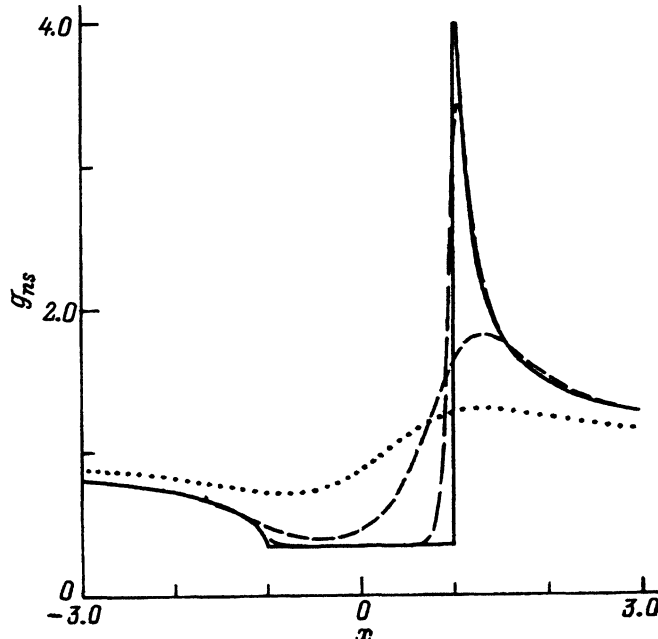


Рис. 2. То же, что на рис. 1, для проводимости  $g_{ns}$  несимметричного перехода.

$$J_{ns}(V) \approx \frac{V}{R_{ns}} \left( 1 \pm \frac{\Sigma}{|eV|(1+\nu)} \ln \left| \frac{2eV}{\Sigma} \right| \right). \quad (17)$$

На рис. 2 показана зависимость  $g_{ns}(x) = G_{ns} R_{ns}$  при  $\nu = 0.5$ ,  $\Sigma > 0$  и различных значениях  $t$ . Как видно, ВАХ существенно асимметрична, причем для одной полярности имеется логарифмическая особенность, а для другой — излом. Как и для симметричного перехода, щель в спектре частично заполняется вследствие неполной диэлектризации электронного спектра. При  $\Sigma < 0$  график  $g_{ns}(x)$  представляет собой зеркальное отображение кривых с рис. 2 относительно оси ординат. Поскольку энергия перестроенной электронной системы не зависит от знака  $\Sigma$  [11], то реализация ВАХ того или иного вида будет определяться случайными флуктуациями при замыкании цепи.

Предсказанные особенности ВАХ для симметричного перехода нуждаются в экспериментальной проверке. В то же время рассчитанные нами ВАХ для несимметричных туннельных переходов хорошо качественно объясняют результаты [4–9], полученные для ВЗП- и ВСП-металлов. Особенно хорошее согласие достигается для контактов, содержащих URu<sub>2</sub>Si<sub>2</sub> [8,9]. Это соединение, как было указано ранее [14], переходит в ВСП-состояние с частичной диэлектризацией электронного спектра при  $T < T_N \geq 17$  К с  $\nu \approx 1.5$  и описывается моделью [10], на которой базируется наше рассмотрение.

### Список литературы

- [1] Свишунов В.М., Белоголовский М.А. Туннельная спектроскопия квазичастичных возбуждений в металлах. Киев (1986). 148 с.
- [2] Grüner G. Rev. Mod. Phys. **60**, 4, 1129 (1988).
- [3] Grüner G. Rev. Mod. Phys. **66**, 1, 1 (1994).
- [4] Wang C., Giambattista B., Slough C.G., Coleman R.V., Subramanian M.A. Phys. Rev. **B42**, 14, 8890 (1990).
- [5] Fournel A., Sorbier J.P., Konczykowski M., Monceau P. Phys. Rev. Lett. **57**, 17, 2199 (1986).
- [6] Dai Z., Slough C.G., Coleman R.V. Phys. Rev. **B45**, 16, 9469 (1992).
- [7] Ekino T., Akimitsu J. Physica **B194–196**, Pt.1, 1221 (1994).
- [8] Nowack A., Naidyuk Yu.G., Chubov P.N., Yanson I.K., Menovsky A.Z. Phys. **B88**, 3, 295 (1992).
- [9] Escudero R., Morales F., Lejay P. Phys. Rev. **B49**, 21, 15271 (1994).
- [10] Bilbro G., McMillan W.L. Phys. Rev. **B14**, 5, 1887 (1976).
- [11] Gabovich A.M. High- $T_c$  Superconductivity, Experiment and Theory / Ed. A.S. Davydov and V.M. Loktev. Springer. Berlin (1992). P. 161–169.
- [12] Ларкин А.И., Овчинников Ю.Н. ЖЭТФ **51**, 5(11), 1535 (1966).
- [13] Копаев Ю.В. Тр. ФИАН СССР **86**, 3 (1975).
- [14] Maple M.B., Chen J.W., Dalichaouch Y., Kohara T., Rossel C., Torikachvili M.S., McElfresh M.W. Phys. Rev. Lett. **56**, 2, 185 (1986).